



FAG

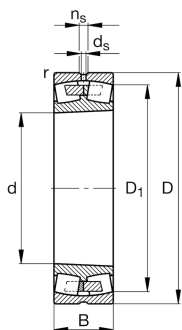
22226-E1A-XL-K-M

Радиальный сферический роликоподшипник

Радиальный сферический роликоподшипник 222...-E1A-XL-K-M, симметричный, 2 наружных борта

X-life

Техническая информация



Ваш текущий вариант продукта

Design	E1A	Without central rip
Исполнение отверстия	K	Коническое, 1:12
Cage	M	Латунный сепаратор
Радиальный зазор	CN (Group N)	Normal internal clearance
Relubrication	Standard	Стандарт

Основные размеры и рабочие характеристики

d	130 mm	Диаметр отверстия
D	230 mm	Наружный диаметр
B	64 mm	Ширина
C _r	760.000 N	Динамическая грузоподъемность, радиальная
C _{0r}	890.000 N	Статическая грузоподъемность, радиальная
C _{ur}	81.000 N	Предел усталостной нагрузки, радиальный
n _G	3.350 1/min	Предельная частота вращения
n _{gr}	2.500 1/min	Номинальная тепловая частота вращения
≈m	10,754 kg	Вес





Присоединительные размеры

$d_{a \min}$	144 mm	Мин. диаметр заплечика вала
$D_{a \max}$	216 mm	Макс. диаметр заплечика корпуса
$r_{a \max}$	2,5 mm	Макс. радиус галтели
$d_{a \max}$	151 mm	Макс. диаметр заплечика вала
$d_{b \min}$	138 mm	Мин. диаметр под втулку
$B_{a \min}$	8 mm	Мин. глубина под втулку

Габаритные размеры

r_{\min}	3 mm	Мин. размер монтажной фаски
D_1	205 mm	Диаметр отверстия наружного кольца
d_2	151,7 mm	Диаметр дорожки качения внутреннего кольца
d_s	6,3 mm	Диаметр смазочного отверстия
n_s	12,2 mm	Ширина смазочной канавки

Диапазон температур

T_{\min}	-30 °C	Мин. рабочая температура
T_{\max}	200 °C	Макс. рабочая температура

Коэффициенты для расчета

e	0,26	Предельное значение F_a/F_r для применимости различн. значений коэффициентов X и Y
Y_1	2,62	Динамический коэффициент осевой нагрузки
Y_2	3,9	Динамический коэффициент осевой нагрузки
Y_0	2,56	Статический коэффициент осевой нагрузки

Дополнительная информация

H3126	Закрепительная втулка
АНХ3126	Стяжная втулка



Характеристики

-  Радиальная нагрузка
-  Осевая нагрузка в одном направлении
-  Осевая нагрузка в обоих направлениях
-  Смазывание пластичной смазкой
-  Смазывание маслом
-  Без уплотнений
-  Динамические угловые и линейные несоосности